

# Avaliação do Uso de Restrições Probabilísticas para a Superfície de Aversão a Risco no Problema de Planejamento de Médio Prazo da Operação Hidrotérmica

Grupo de Estudos de Operação de Sistemas Elétricos- GOP

L. F. Rodrigues  
A. L. Diniz  
R. B. Prada



# Motivação e Contribuições

## Motivação

Alternativa para representar aversão a risco no planejamento da operação hidrotérmica, resolvido por PDDE [Pereira,Pinto,91] [Maceira,93]

- Idéia similar à Superfície de Aversão a Risco SAR: proteger o sistema através de uma superfície de armazenamento mínimo para os reservatórios [PSR,08] [Vasconcellos,16]
- No entanto, ao invés de proteger o sistema para determinado cenário crítico, controla-se a probabilidade do risco de déficit no futuro, para uma dada distribuição de probabilidade conjunta das variáveis aleatórias

## Contribuição

- Investigar a utilização da restrição probabilística como um critério de segurança na Programação Dinâmica Dual Estocástica PDDE [Charnes, Cooper,59]
- Utilizar na PDDE um critério de risco de não suprimento (%), ao contrário de atender ou não um cenário crítico [Diniz, Henrion,15]

# Programa

---

## Revisão bibliográfica

- Problema de Planejamento Hidrotérmico
- Problema de Planejamento Hidrotérmico – Abordagens Aversão a Risco

## Proposta do Trabalho

- Superfície de Aversão a risco com restrições probabilísticas
- Formulação Matemática do Subproblema CCP-SAR
- LTHTP com restrições probabilísticas - Integração à PDDE
- Resultados Numéricos
- Conclusão

# Problema de Planejamento Hidrotérmico

## Abordagem Neutra ao Risco

**Função Objetivo**

$$\min \mathbb{E} \left[ \left( \sum_{t=1}^T \sum_{j=1}^{NT} cgterm_j(GTERM_j^{t,\omega}) + cdef(Def_j^{t,\omega}) \right) + FCF(x^t) \right]$$

**Geração Térmica+Déficit+ Função de Custo Futuro**

## Restrições

### Atendimento a demanda

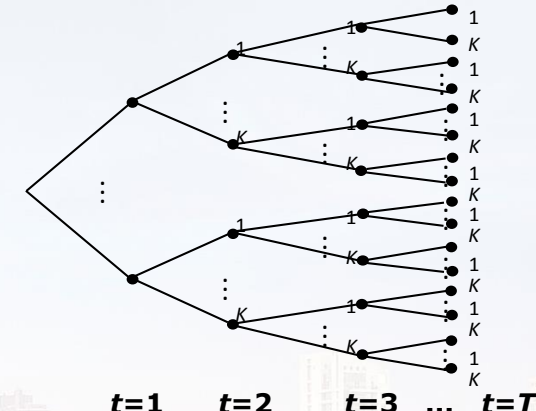
$$\sum_{i \in H_j} GHID_i^{t,\omega} + \sum_{i \in T_j} GETERM_i^{t,\omega} - \sum_{i \in T_j} INT_i^{t,\omega} + Def_j^t = D_j^t \quad \forall t, \omega, j$$

### Balanço hídrico

$$EARM_s^t = EARM_s^{t-1} - GHID_i^{t,\omega} + \underbrace{\xi_s^{t,\omega} | (\xi_{s,p-1,\dots,p}^{t-p,\omega}, \zeta)}_{\text{Modelo Par-P}} \quad \forall t, \omega, j$$

**Modelo Par-P [Maceira, Bezerra,97]**

+ Outras restrições da operação...



[Penna,Maceira,Damazio,11]

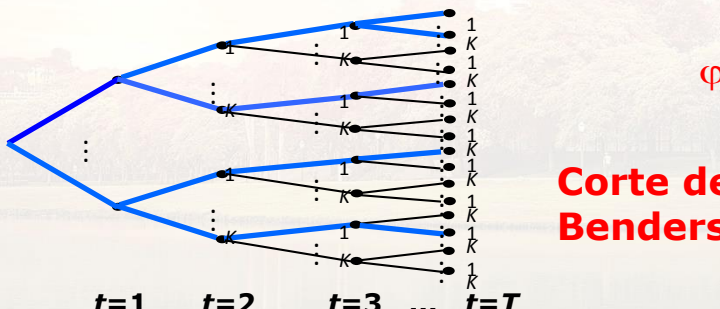
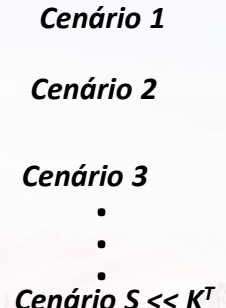
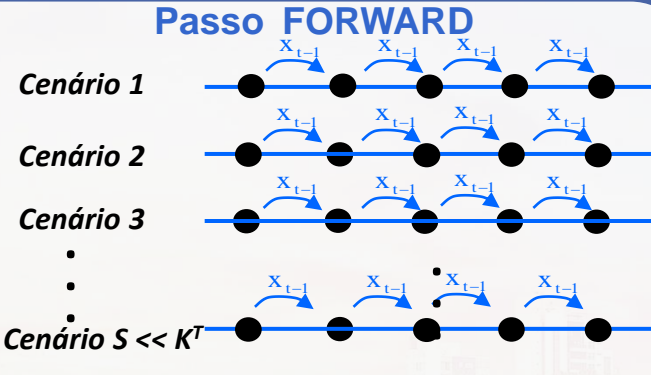
[Maceira,Duarte, Penna, Moraes, Melo,2008]

[Diniz, Vasconcellos, Penna,2014]

# Problema de Planejamento Hidrotérmico

## Estratégia de Solução- PDDE (Programação Dinâmica Dual Estocástica)

[Pereira,Pinto,91]  
[Maceira,93]



$$\varphi_t(x_{t-1}) \geq \sum_{\omega=1, \dots, K} p_\omega \left[ Z_{t,\omega^*} + \left\langle \frac{\partial Z_{t,\omega^*}}{\partial x_{t-1}}(\hat{x}_{t-1,s^*}), x_{t-1} - \hat{x}_{t-1,s^*} \right\rangle \right]$$

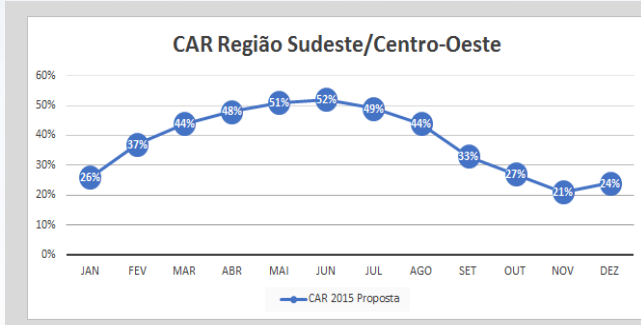
Retorno:



**Política ótima de operação**

## Curva de Aversão a Risco (CAR): [ONS,13]

Curva de Armazenamento mínimo para proteger o sistema de cenários críticos



## Otimização com CVaR

[Philpott,Matos,10]

[Shapiro,Tekaya,Costa, Soares, 12]

[Shapiro,10]

[Diniz, Tcheou, Maceira, 12]

## Superfície de Aversão a Risco (SAR)

[PSR,08]

[Diniz, Maceira,Vasconcellos, Penna, 14]

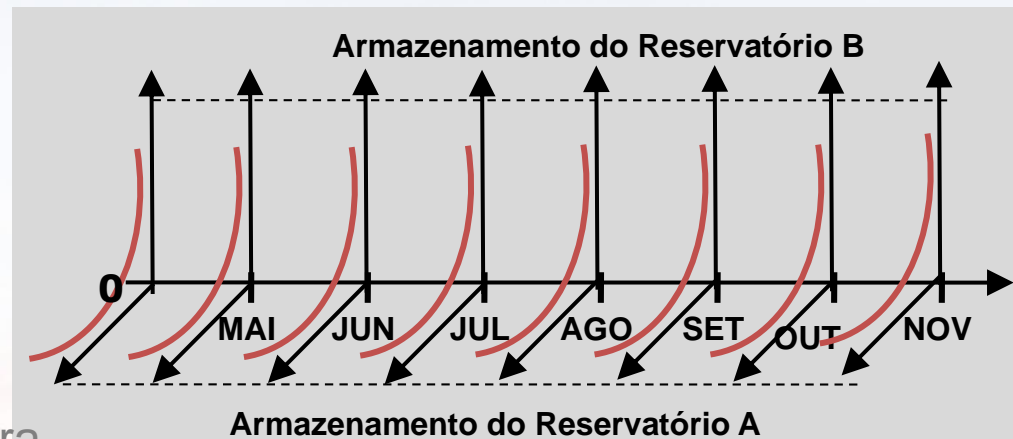
[Vasconcellos,16]

[Diniz, Maceira, Vasconcellos, Penna, 16]



## Superfície de Aversão a risco com restrições probabilísticas

Ao invés de impor déficit nulo para um determinado cenário crítico, impor uma probabilidade pequena de déficit para o conjunto de “todas” as possíveis realizações das afluências futuras



**Vantagem em relação a CAR:** Considera o intercambio energético (idem SAR)

**Vantagem em relação a SAR :** ao invés de proteger o sistema para todo cenário crítico, o interesse é a probabilidade do risco de déficit no futuro (CCP).

→ **Curva Multivariada**

→ **Critério Probabilístico**

## Superfície de Aversão a risco com restrições probabilísticas

### Métodos utilizados e Desenvolvimentos Do Trabalho

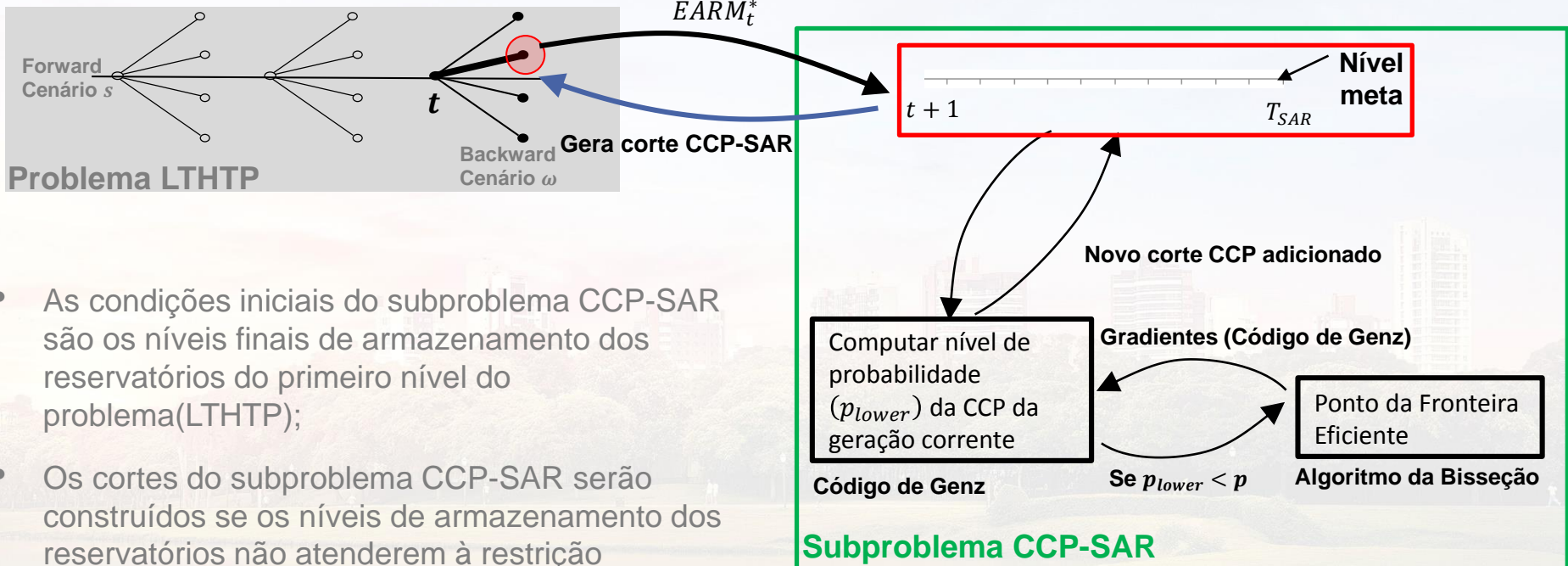
- ✓ V.a. multivariada continua com Correlação Espaço-Temporal → Série Histórica

### Estratégia de resolução

- ✓ LPP para a região viável do CCP →  $x^{*(k)}$  → OSL
- ✓ Probabilidade para restrição probabilística no ponto  $x^{*(k)}$  → uso do código de Genz [Genz,92] [Genz,Bretz,02]
- ✓ Obtenção de um ponto  $\hat{x}^{(k)}$  da fronteira da região viável para restrição probabilística → Método da Bisseção
- ✓ Cálculo do Gradiente para restrição probabilística → Fórmula Recursiva [Prékopa,71]
- ✓ Construção do corte e inclusão de nova restrição no PL → Planos Cortantes [Kelly,60]

### Construção do corte CCP-SAR para o subproblema da PDDE

## LTHTP com Restrições Probabilísticas: Subproblema CCP-SAR



- As condições iniciais do subproblema CCP-SAR são os níveis finais de armazenamento dos reservatórios do primeiro nível do problema(LTHTP);
- Os cortes do subproblema CCP-SAR serão construídos se os níveis de armazenamento dos reservatórios não atenderem à restrição probabilística.

# Formulação Matemática do Subproblema CCP-SAR

## Formulação Original

$$\beta(EARM_0) = \min_x \sum_{\tau=t+1}^{T_{SAR}} \sum_{i=1}^{NSIS} Def_{\tau}^i$$

Déficit  
energético

s. a:

$$GTERM_{\tau}^I + \sum_{\tau}^{T_{SAR}} GHID_{\tau}^i + Def_{\tau}^i = D_{\tau} \quad i = 1, \dots, NREQV \quad \tau = t + 1, \dots, T_{SAR}$$

$$\mathbb{P} \left[ EARM_0^i + \sum_{\tau}^{T_{SAR}} \xi_{\tau}^i - \sum_{\tau}^{T_{SAR}} GHID_{\tau}^i \geq META_{\tau}^i \quad i = 1, \dots, NREQV \right] \geq p \quad \tau = t + 1, \dots, T_{SAR}$$

*EARM ao final de cada período t*



+ Outras restrições da operação...

# Formulação Matemática do Subproblema CCP-SAR

## Formulação “Amigável”

$$\beta(EARM_0) = \min_x \sum_{\tau=t+1}^{T_{SAR}} \sum_{i=1}^{NSIS} Def_{\tau}^i$$

Déficit  
energético

s. a:

$$GTERM_{\tau}^I + \sum_{\tau}^{T_{SAR}} GHID_{\tau}^i + Def_{\tau}^i = D_{\tau} \quad i = 1, \dots, NREQV \quad \tau = t + 1, \dots, T_{SAR}$$

$$\mathbb{P} \left[ \sum_{\tau}^{T_{SAR}} \xi_{\tau}^i \geq META^i - EARM_0^i + \sum_{\tau}^{T_{SAR}} GHID_{\tau}^i \right] \geq p \quad i = 1, \dots, NREQV \quad \tau = t + 1, \dots, T_{SAR}$$

$$\eta_{\tau}^i$$

$$\chi_{\tau}^i$$

**Reformulação Proposta**  
[Diniz, Henrion, 14]



Para  $\tau = t$   
 $\chi_t^i = \chi_{t-1}^i + GHID_t^i$

# Formulação Matemática do Subproblema CCP-SAR

Formulação Proposta [Diniz, Henrion, 14]

$$\beta(EARM_0) = \min_x \sum_{\tau=t+1}^{T_{SAR}} \sum_{i=1}^{NSIS} Def^i_\tau$$

s. a:

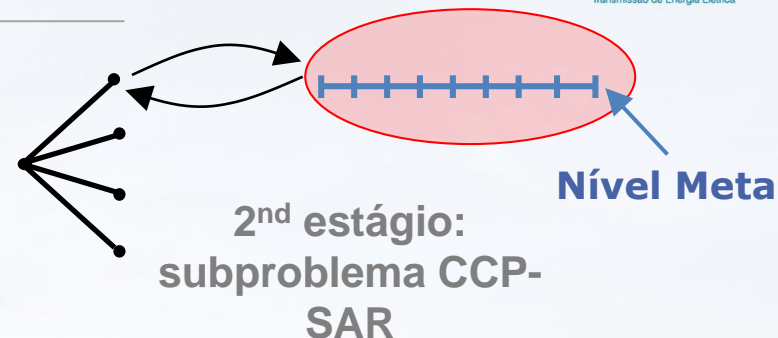
$$GTERM^I_\tau + \sum_{\tau=t+1}^{T_{SAR}} GHID^i_\tau + Def^i_\tau = D_\tau \quad i = 1, \dots, NREQV \quad \tau = t+1, \dots, T_{SAR}$$

$$\chi^i_1 - GHID^i_1 = META^i - EARM^i_0$$

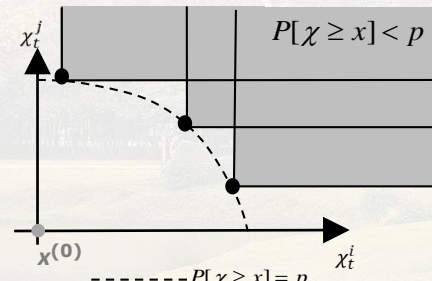
$$\chi^i_\tau = \chi^i_{\tau-1} + GHID^i_\tau$$

$$\mathbb{P} [\boxed{\eta^i_\tau \geq \chi^i_\tau} \quad i = 1, \dots, NREQV \quad \tau = t+1, \dots, T_{SAR}] \geq p$$

Déficit energético



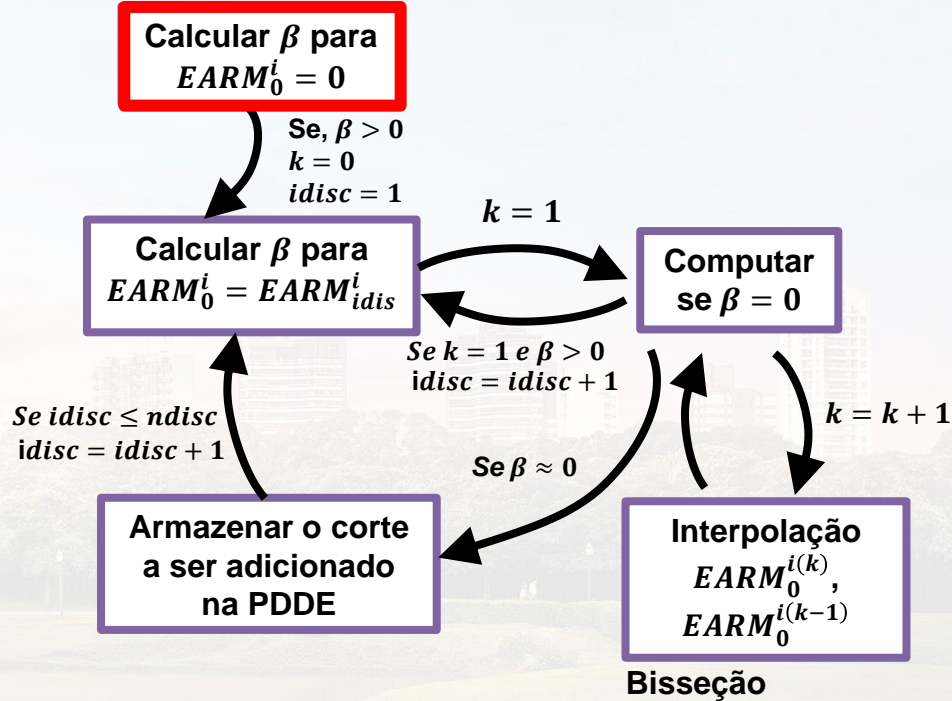
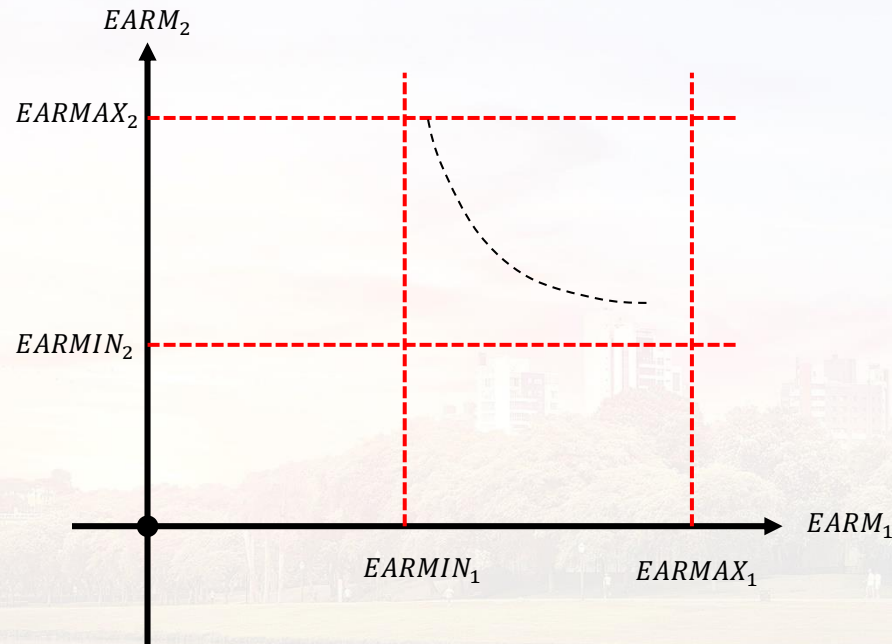
$$\chi^i_\tau := META^i - EARM^i_0 + \sum_{\tau=t+1}^{T_{SAR}} GHID^i_\tau$$



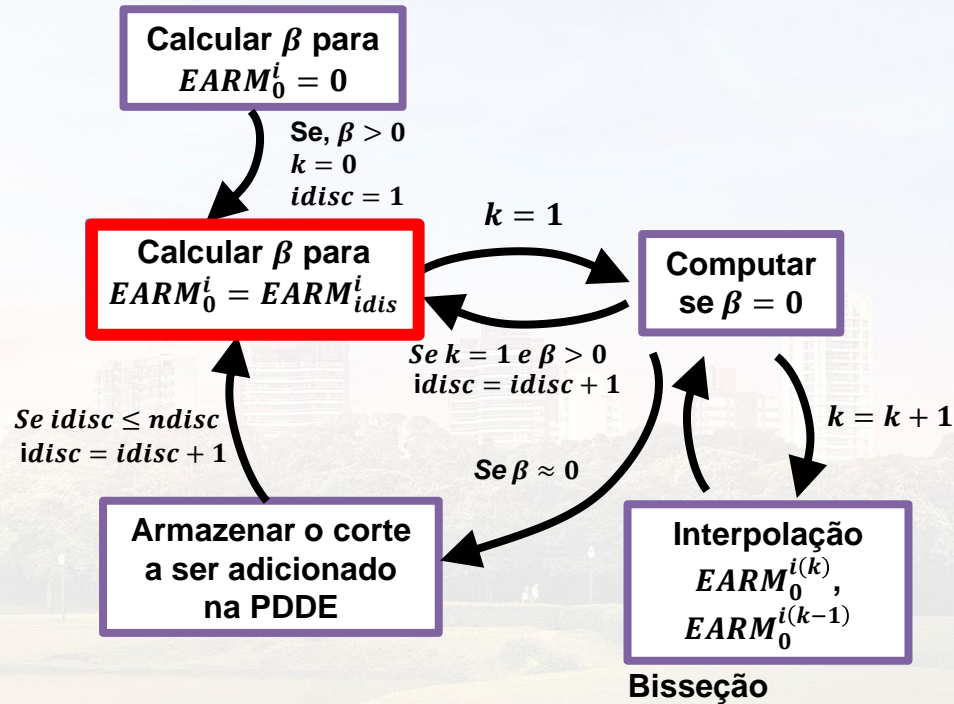
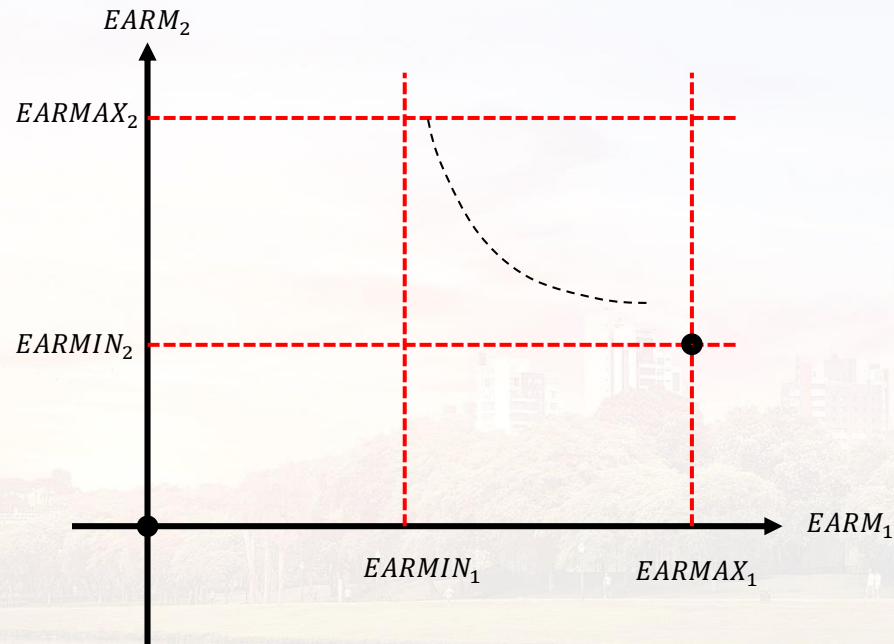
Será aproximada por planos cortantes

+ Outras restrições da operação...

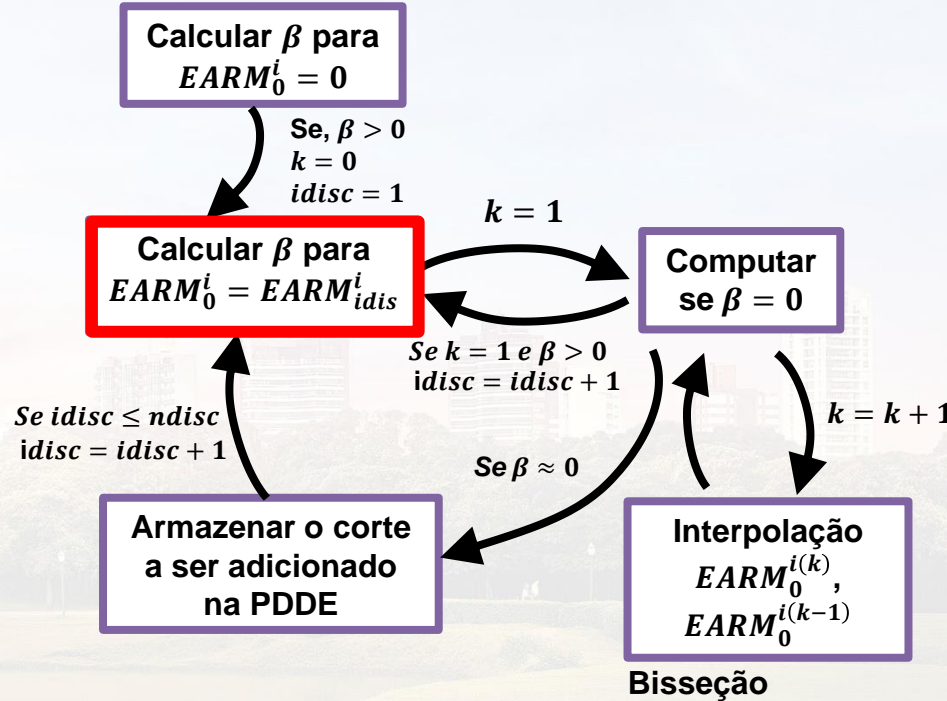
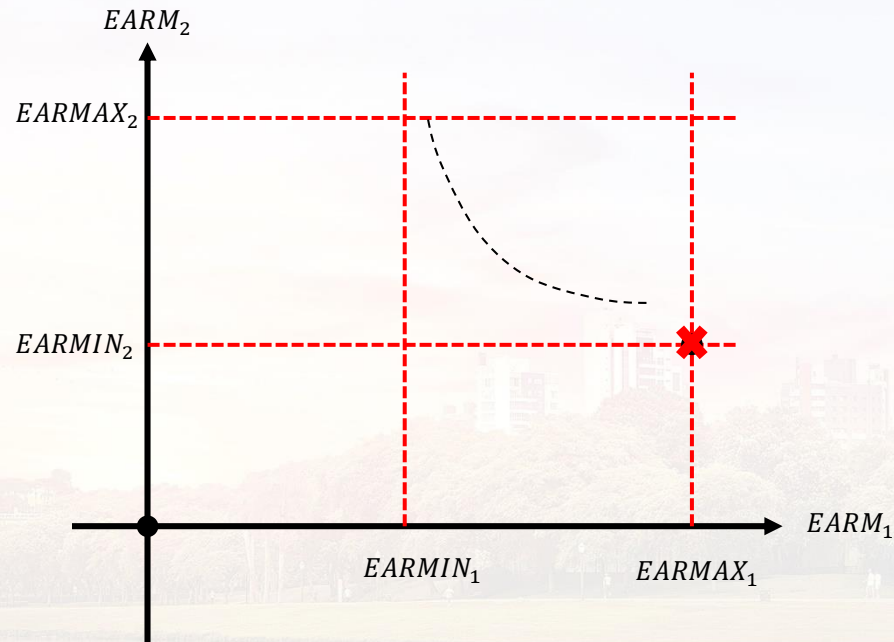
## 1) Resolver o problema CCP-SAR para $EARM_0^i = 0$



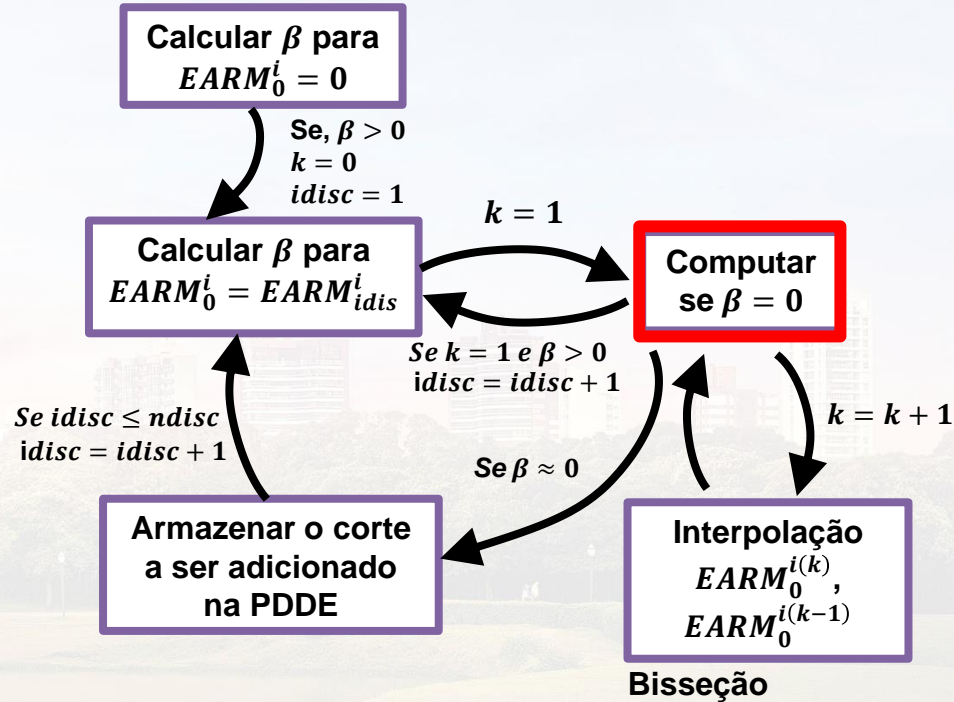
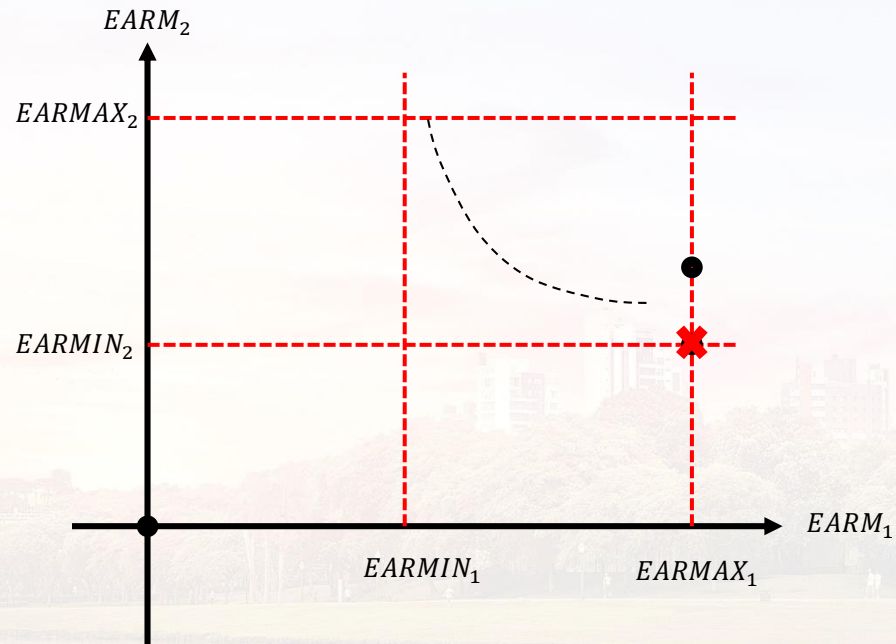
## 2) Resolver o problema CCP-SAR para a discretização corrente



## 3a) Se $\beta > 0$ , próxima discretização

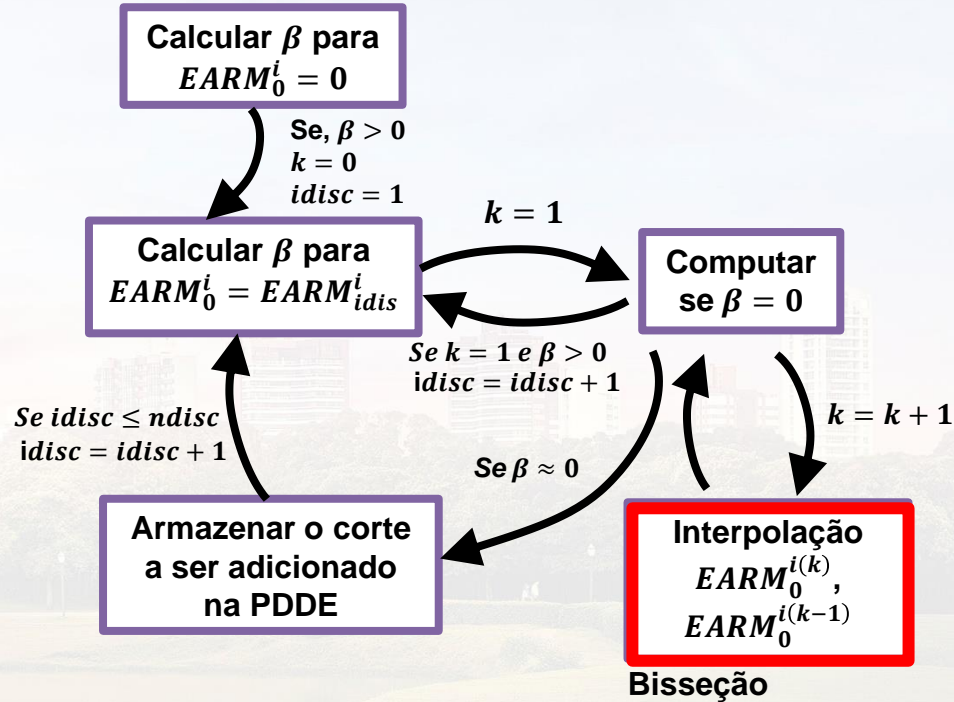
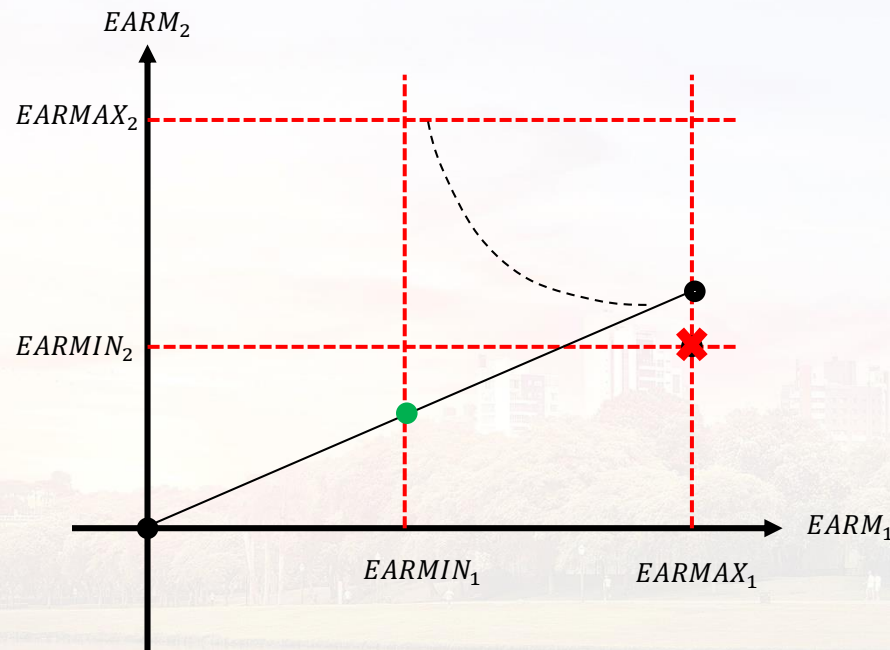


## 2) Resolver o problema CCP-SAR para a discretização corrente

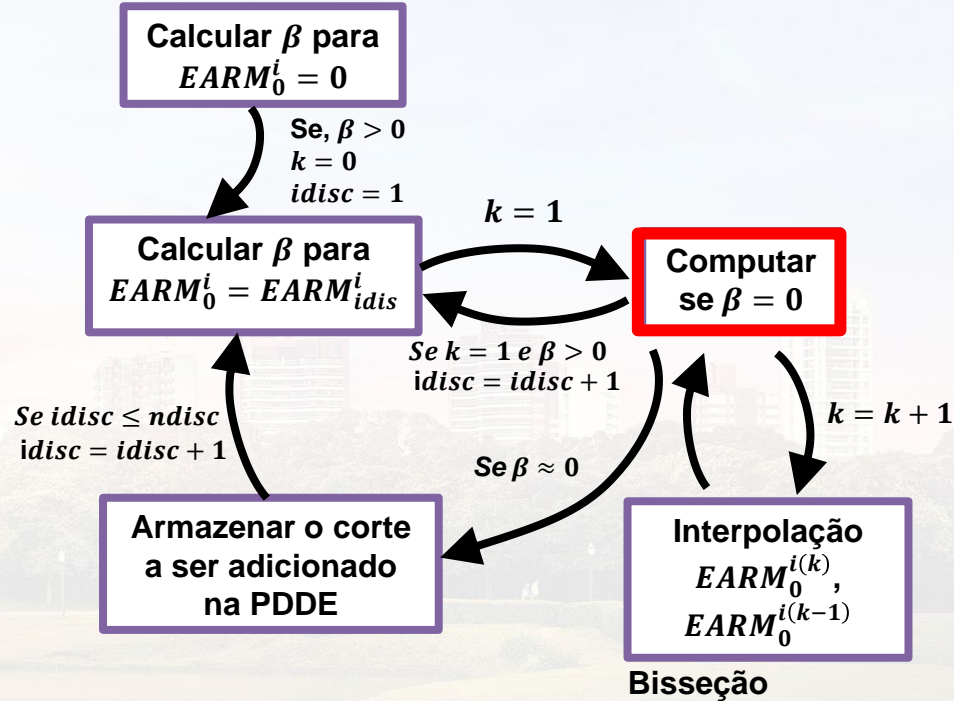
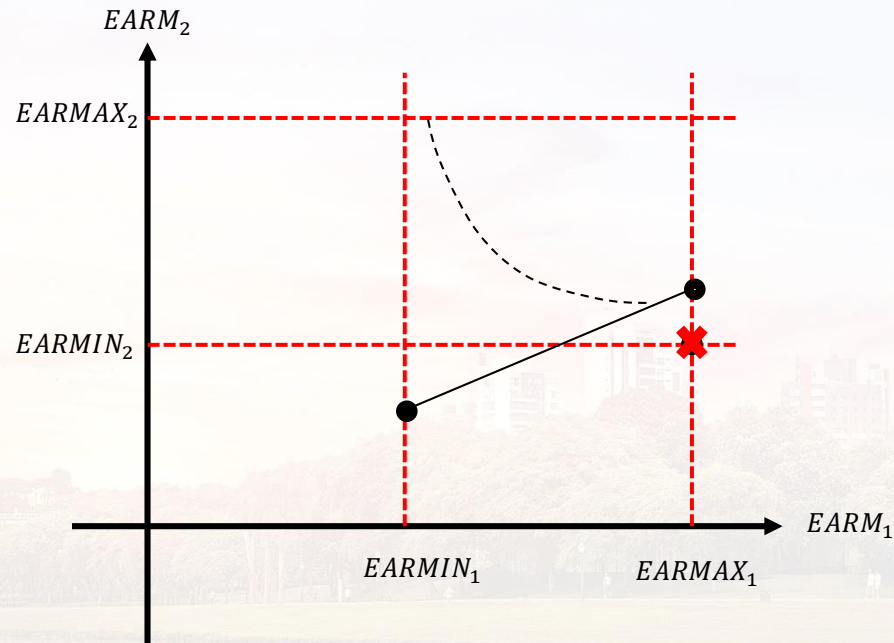


## LTHTP com restrições probabilísticas - Integração à PDDE

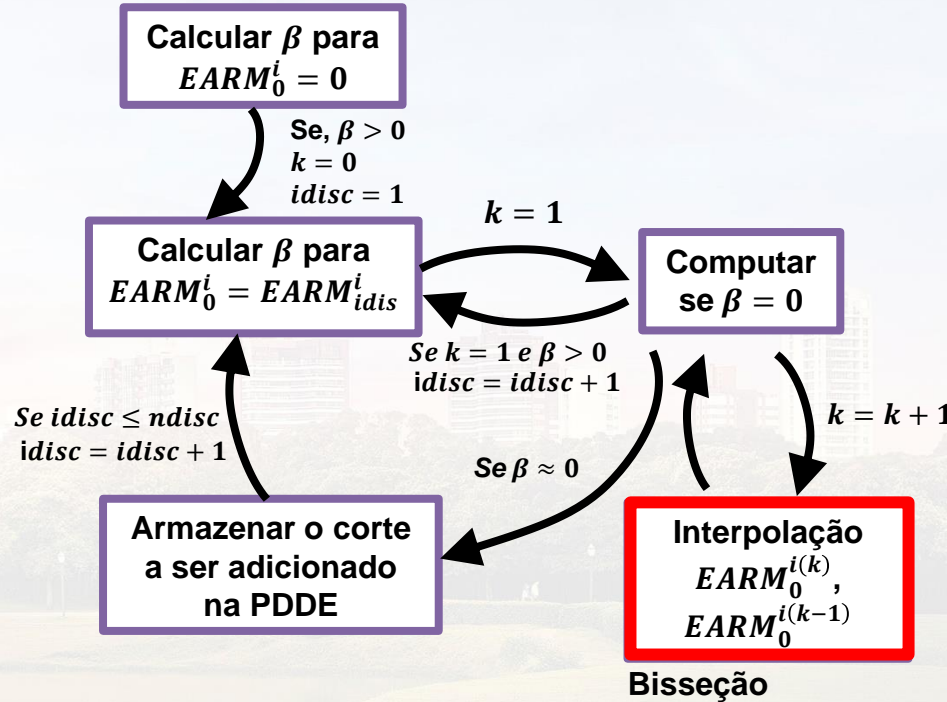
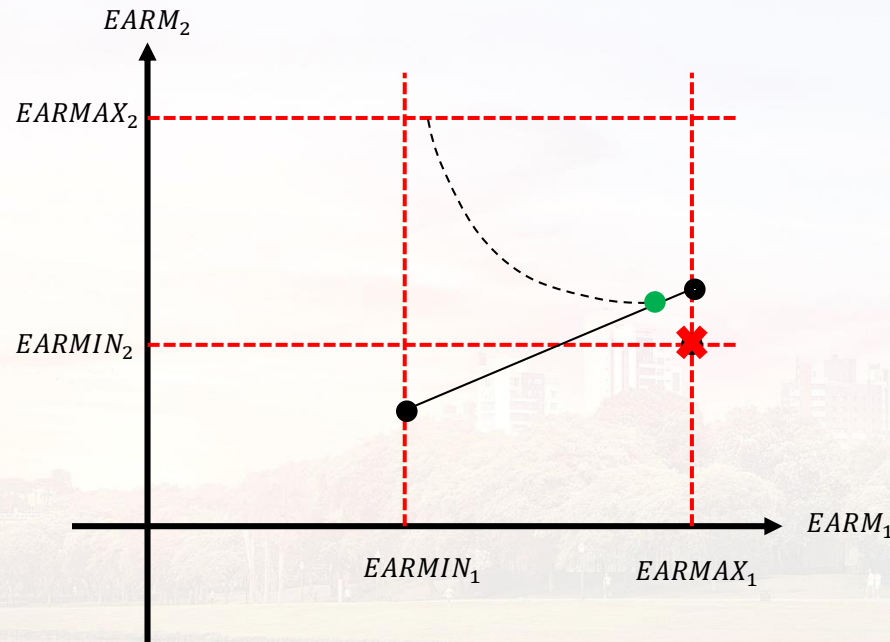
3b) Se  $\beta = 0$ , interpolar progressivamente os pontos até encontrar a fronteira da região viável



## 4) Checar se a solução atende a solução na fronteira da região viável

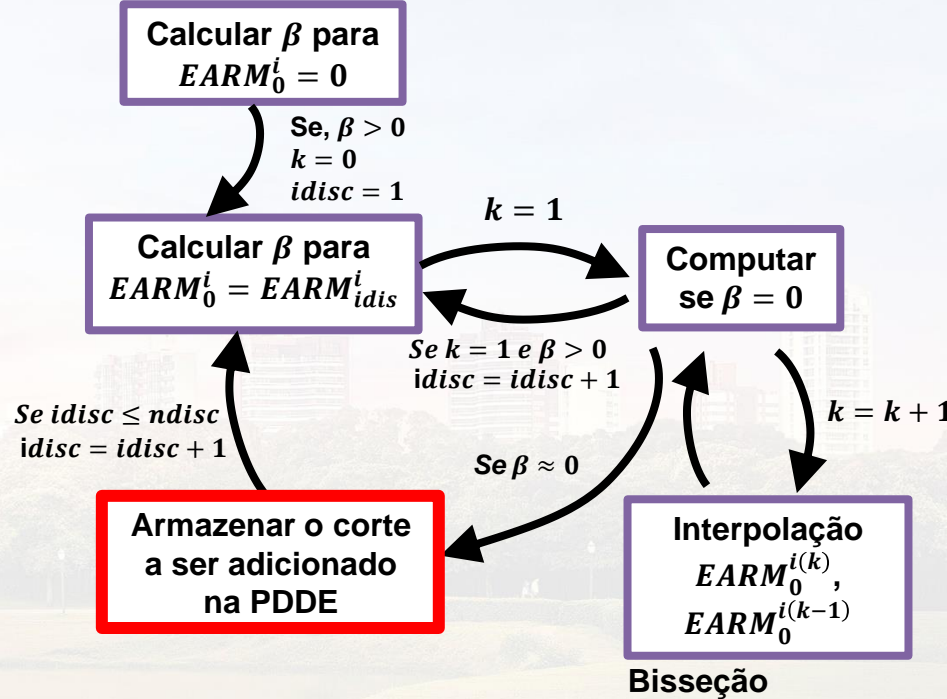
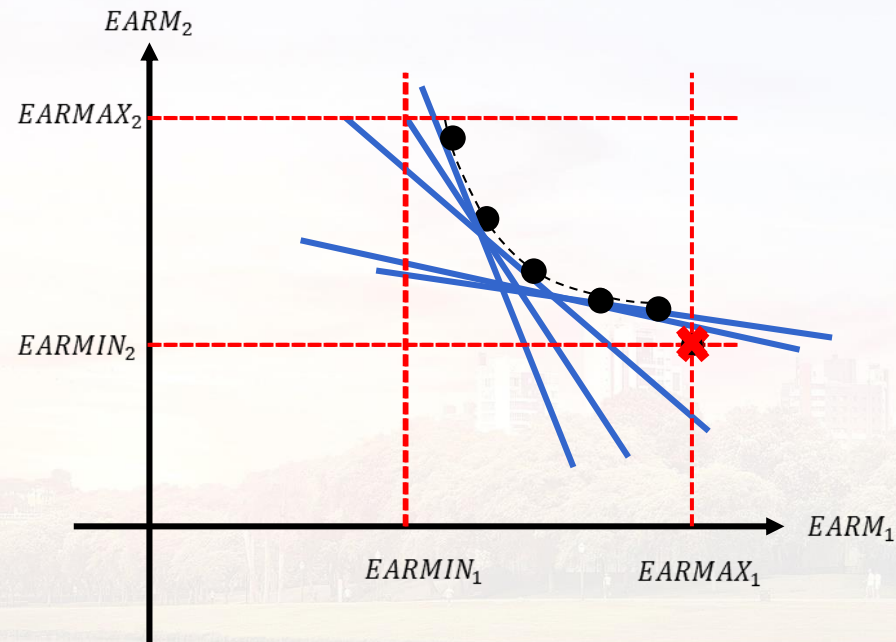


## 5) Interpolar progressivamente os pontos até encontrar a fronteira da região viável



## LTHTP com restrições probabilísticas - Integração à PDDE

### 6) Construir um novo corte de Benders para aproximação do subproblema CCP-SAR “a priori”



## Resultados Numéricos

### Configuração do Sistema

**40 usinas térmicas** => curva de custo quadráticas

**2 reservatórios equivalentes (SE e NE)**

Nível de probabilidade **90%**

Tolerância para o nível de probabilidade **0,01%**

### Distribuição da variável aleatória

Distribuição Normal

Matriz de covariância: série história de ENAS

### Subproblema CCP-SAR e Integração com a PDDE

Número de períodos: **1, 2 e 5**

# Resultados Numéricos

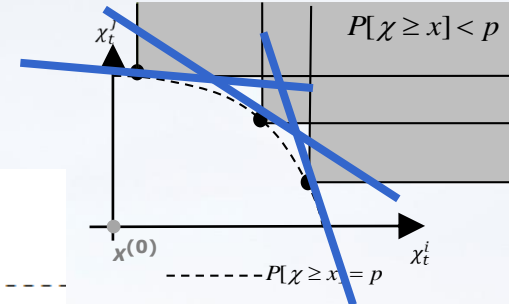
## Subproblema CCP-SAR

	IPER	1	2	1	2
	IEQV	1	1	2	2
		COEF	COEF	COEF	COEF
;	;	;	;	;	;
0.17406838 ;	>= ;	0.00006674 ;	0.00011751 ;	0.00000236 ;	0.00001574
0.17604768 ;	>= ;	0.00001962 ;	0.00005707 ;	0.00004450 ;	0.00018502
0.18473304 ;	>= ;	0.00003095 ;	0.00010406 ;	0.00000849 ;	0.00010390
0.19379115 ;	>= ;	0.00003540 ;	0.00012612 ;	0.00000238 ;	0.00005034
0.18506545 ;	>= ;	0.00003757 ;	0.00011296 ;	0.00000353 ;	0.00007756
0.18138449 ;	>= ;	0.00003893 ;	0.00010583 ;	0.00000571 ;	0.00009284
0.17948754 ;	>= ;	0.00003966 ;	0.00009870 ;	0.00000817 ;	0.00010909
0.17900766 ;	>= ;	0.00003893 ;	0.00010097 ;	0.00000636 ;	0.00010132

Lado direito

↑  
Coeficientes do 1º REQV

Coeficientes do 2º REQV

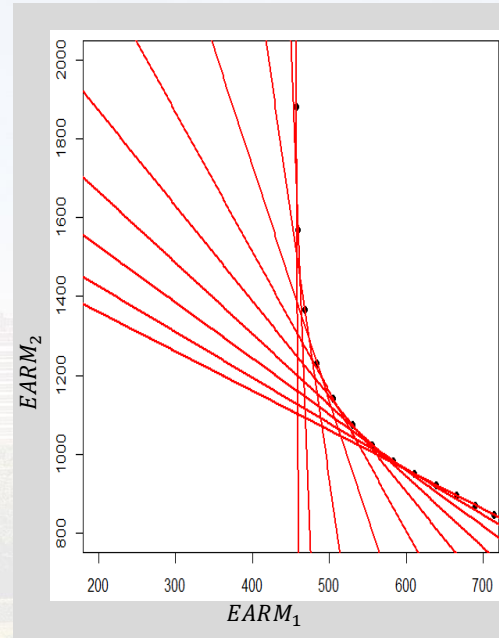
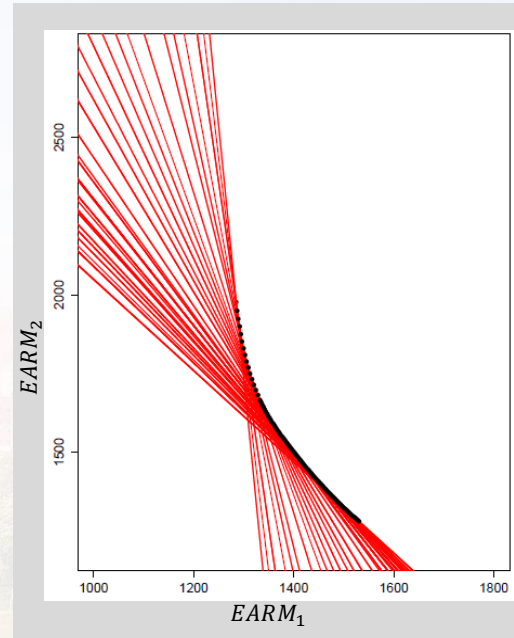


$$\sum_{i=1}^{NREQV} \sum_{\tau=1+t}^{T_{SAR}} \gamma_{\tau(k)}^i \leq \gamma_{\tau(k)}^0$$

## Resultados Numéricos

### CCP-SAR - Integração à PDDE

- Calculo *à priori*, variando os valores de armazenamento inicial
- A curva tende **ser suavizada se comparada com a SAR** (Superfície de Aversão a Risco)
- A utilização da curva CCP-SAR na PDDE segue o mesmo conceito que a metodologia da SAR



## Conclusões

- **Uma proposta de uso de restrições probabilísticas para o planejamento hidrotérmico resolvido pela PDDE**
  - ✓ Construir uma superfície de aversão a risco probabilística (subproblema CCP-SAR)
  - ✓ Explicitar um critério de atendimento bastante intuitivo para a operação
- **Alternativa menos conservadora do que a SAR**
- **Modelagem das variáveis aleatórias no subproblema CCP-SAR:**
  - ✓ Deve atender ao requisito de convexidade da variável aleatória (distribuição normal na cauda da distribuição?)
- **Consideração de dimensões maiores (realísticas) ainda é um desafio**

## Trabalhos Futuros

- Aprimoramento da eficiência da implementação
- Integrar o subproblema CCP-SAR ao longo da resolução da PDDE
- Analisar a concavidade de distribuições que se assemelham com a cauda da distribuição da série histórica
  - ✓ Deve-se dispor de códigos eficientes na literatura para cálculo do gradiente e probabilidade
- Comparar os resultados
  - ✓ Com critérios de aversão a risco mais restritos: SAR
  - ✓ Com o critério de aversão a risco utilizado oficialmente no sistema brasileiro: CVaR
- Realizar testes de desempenho para dimensões maiores

## Livia Ferreira Rodrigues André Luiz Diniz

---

 (21) 2598-6046

 (21) 98531-0093

 [diniz@cepel.br](mailto:diniz@cepel.br)

 [www.cepel.br](http://www.cepel.br)

